

ОБЪЕДИНЕННЫЙ  
ИНСТИТУТ  
ЯДЕРНЫХ  
ИССЛЕДОВАНИЙ

Дубна

P13-2000-37

Ю.П.Гангрский, Ч.Градечны\*, И.М.Ермолаев\*,  
С.Г.Земляной, Т.Тетгал\*

ОПТИЧЕСКАЯ ОРИЕНТАЦИЯ ЯДЕР  $^{24}\text{Na}$   
В ЛОВУШКЕ НА ОСНОВЕ  
СВЕТОИНДУЦИРОВАННОГО ДРЕЙФА

Направлено в «Журнал экспериментальной  
и теоретической физики»

\*Институт ядерной физики, Ржеж, Чехия

2000

Со времени предсказания в 1950 г. А.Кастлером возможности оптической спиновой ориентации атомов [1] выполнено большое количество работ по созданию ансамблей свободных поляризованных атомов и ядер методом оптической накачки (подробное описание метода оптической ориентации представлено в обзоре [2]). Поляризованные газовые ансамбли радиоактивных изотопов могли бы служить для высокочувствительной лазерной спектроскопии [3] или для детального изучения фундаментальных процессов, таких как  $\beta$ -распад [4,5]. Однако основным ограничением в экспериментах с поляризованными радиоактивными изотопами в газовых ячейках является адсорбция и деполяризация исследуемых атомов на стенах ячейки. По этой причине до сих пор эксперименты по оптической поляризации с измерением анизотропии ядерного излучения проводились либо на химически инертных атомах, либо на изотопах с временем жизни, короче или сравнимым с временем диффузии исследуемого атома до стенки ячейки [3,6]. Влияние стенок можно полностью устраниТЬ в магнитооптических ловушках [7]. Однако эти ловушки являются сложными и тонкими экспериментальными установками с малой емкостью накопления атомов (как правило, менее  $10^8$ ) и низкой эффективностью захвата [8,9]. Кроме того, удерживающее ионы электромагнитное поле может приводить к деполяризации ядер.

В нашей работе [10] на примере стабильного натрия был продемонстрирован альтернативный способ создания оптически поляризованных ядер – оптическая накачка атомов, удерживаемых в закрытой с одного конца трубке с помощью светоиндуцированного дрейфа (СИД) [11]. Параметры, достигнутые в этой работе: плотность атомов натрия  $10^{13}$  атом/см<sup>3</sup>, количество захваченного натрия  $10^{11}$  атомов, поляризация атомов в парах натрия 90%, полная поляризация с учетом натрия, адсорбированного на стенах, 25%, подтвердили перспективность данного метода. Целью данной работы является дальнейшее развитие этого метода – поляризация ядер радиоактивного изотопа  $^{24}\text{Na}$ , определение степени его поляризации и других характеристик экспериментальной установки.

Идея ловушки на базе СИД заключается в следующем: если ограничить дрейф атомов в трубке перегородкой, то атомы будут накапливаться у нее до тех пор, пока дрейф не скомпенсируется обратным диффузионным потоком. В оптимальных экспериментальных условиях светоиндуцированный дрейф может

создавать большие градиенты плотности, и большинство атомов может удерживаться около перегородки в слое с шириной всего лишь несколько миллиметров.

Важным свойством ловушки на базе СИД (далее лишь ловушки) является ее селективность. Если в ловушке атомы престанут поглощать излучение, образовав молекулы, СИД перестанет действовать на них, и они покинут ловушку диффузионно. Более того, благодаря изотопическому сдвигу и(или) различному сверхтонкому расщеплению для двух разных изотопов в возбуждаемом оптическом переходе можно настроить длину волны возбуждающего лазерного излучения таким образом, что СИД атомов этих двух изотопов будет направлен в противоположные стороны. Эта особенность СИД была продемонстрирована в нашей работе [12] на примере двух радиоактивных изотопов  $^{22}\text{Na}$  и  $^{24}\text{Na}$ . Таким образом в ловушке удерживается только определенный изотоп в атомной форме, и она может служить в качестве изотопического сепаратора.

Известно, что при температурах около 400 К адсорбцию на стенках атомов щелочных металлов можно подавить покрытием стенок парафином [2,13]. К сожалению время жизни атомов по отношению к химическому связыванию, в ячейках с такими покрытиями не превышает секунды, что накладывает ограничение на их применение. Поэтому в наших экспериментах вместо парафинового покрытия стеночная адсорбция подавлялась нагревом ячейки из сапфира до высокой температуры [10]. В последующих исследованиях была измерена энергия адсорбции атомов натрия на поверхности сапфира, которая оказалась равной  $(2,48 \pm 0,1)$  эВ. Эта величина хорошо совпадает с энергией связи натрия с кислородом в молекуле  $\text{Na}_2\text{O}$  (2,55 эВ [14]). При такой энергии связи для полного подавления адсорбции поверхность сапфира необходимо нагреть до температур выше 1800 К. Если поверхность сапфира покрыть слоем калия, то энергия адсорбции атомов натрия снижается до  $(1,76 \pm 0,07)$  эВ [14], а температура подавления адсорбции до 1300 К, что позволяет проводить эксперименты по поляризации натрия при более доступных температурах.

При высоких температурах помимо подавления адсорбции происходит еще и разложение молекул, в которые химически связываются плененные атомы. Время жизни двухатомной

молекулы с энергией связи  $E$  определяется известной формулой Аррениуса:

$$\tau = \tau_0 \exp\left(\frac{E}{kT}\right), \quad (1)$$

где  $\tau_0$  – предэкспоненциальный множитель,  $k$  – постоянная Больцмана и  $T$  – абсолютная температура. Подставляя в выражение (1) типичные значения для молекулы  $\text{Na}_2\text{O}$ :  $\tau_0 \sim 10^{-13}$  с,  $E = 2,48$  эВ и температуру  $T = 1300$  К, получим время ее жизни  $\tau = 0,4$  мс. За такие короткие времена молекулы не успевают покинуть ловушку за счет диффузии. Вновь возникшие атомы опять дрейфуют к закрытому концу ловушки, где они удерживаются. Таким образом, обратимость процессов химического связывания при высоких температурах позволяет удерживать атомы в ловушке без потерь за счет химического связывания.

Вычислим время удержания атомов в ловушке, которое важно для реализации экспериментов. Для простоты будем предполагать, что адсорбция на стенах ячейки пренебрежимо мала, т.е. количество адсорбированных атомов натрия много меньше, чем свободных. Также не будем принимать во внимание потери за счет радиоактивного распада и химического связывания. В этом случае потери атомов в ловушке будут определены их диффузионным вытеканием через открытый конец трубы:

$$\frac{dN(t)}{dt} = -D \frac{dn(L, t)}{dx}, \quad (2)$$

$$N(t) = \int_0^L n(x, t) dx, \quad (3)$$

где  $n(x, t)$  – плотность атомов,  $D$  – коэффициент диффузии, значение  $x = 0$  и  $L$  соответствуют закрытому и открытому концам ловушки. Будем предполагать, что время удержания атомов в ловушке много больше характерных времен как диффузии, так и дрейфа:

$$\frac{\partial n(x, t)}{\partial t} \gg D \frac{\partial^2 n(x, t)}{\partial x^2}, \quad (4)$$

$$\frac{\partial n(x, t)}{\partial t} \gg u \frac{\partial n(x, t)}{\partial x}, \quad (5)$$

где  $u$  – скорость светоиндуцированного дрейфа. В этом случае плотность атомов определяется стационарным уравнением:

$$D \frac{\partial^2 n(x, t)}{\partial x^2} - u \frac{\partial n(x, t)}{\partial x} = 0. \quad (6)$$

Решая его с граничным условием  $n(L, t) = 0$ , находим выражение для плотности атомов:

$$n(x, t) = n_0(t) \left[ \exp\left(\frac{ux}{D}\right) - \exp\left(\frac{uL}{D}\right) \right], \quad 0 < x < L. \quad (7)$$

Напомним, что  $u < 0$ . Считая, что скорость дрейфа велика ( $|u|L \gg D$ ), вычислим интеграл в (3):

$$N(t) \approx -n_0(t) \frac{D}{|u|}. \quad (8)$$

Подставляя (5) и (6) в уравнение (2), находим решение:

$$N(t) \approx N_0 \exp\left(-\frac{t}{\tau}\right), \quad (9)$$

$$\tau = \frac{D}{u^2} \exp\left(\frac{|u|L}{D}\right). \quad (10)$$

Проведем численные оценки времени удержания атомов в ловушке при типичных экспериментальных параметрах. При давлении буферного газа – криптона – 30 Торр и температуре 1300 К величины коэффициента диффузии и скорости дрейфа, измеренные в [10,12], составляют:  $D = 50 \text{ см}^2/\text{с}$ ,  $u = 150 \text{ см}/\text{с}$ . При длине ловушки  $L = 10 \text{ см}$  время удержания составляет по порядку величины  $2 \cdot 10^{10} \text{ с}$ , или более 600 лет. Следует, однако, отметить, что ситуация радикально меняется, если атомы удерживаются в ловушке циркулярно поляризованным светом, и происходит их эффективная оптическая накачка. Оптическая ориентация атомов приводит к уменьшению вероятности поглощения излучения и, как следствие, к снижению скорости СИД примерно в десять раз [10]. Из-за экспоненциальной зависимости времени удержания атомов в ловушке  $\tau$  от скорости СИД оно падает до 4,5 с. Избежать этого

можно, поместив открытую часть трубки ловушки в поперечное магнитное поле, разрушающее оптическую ориентацию атомов. Таким образом пространственно разделяются области эффективного действия СИД и оптической накачки: у открытого конца ловушки активно действует дрейф, не выпуская атомы из ловушки, у закрытого же конца происходит оптическая ориентация удерживаемых атомов. При этом в оценках времени удержания атомов по формуле (10) вместо длины ловушки подставляется длина той части ловушки, где активно действует СИД, т.е. большая часть трубы, что незначительно снижает  $\tau$ .

Напомним некоторые особенности оптической поляризации атомов радиоактивного ( $T_{1/2} = 15,02$  ч)  $^{24}\text{Na}$  оптическим излучением с круговой поляризацией с частотой, настроенной на  $D_1$ -переход, в присутствии буферного газа. Сверхтонкое расщепление основного состояния  $^{24}\text{Na}$  меньше доплеровского уширения, так что оба сверхтонких подуровня взаимодействуют с оптическим излучением. Для поляризации принципиальным является факт, что на переходе  $S_{1/2} \rightarrow P_{1/2}$  подуровень с максимальной проекцией атомного момента  $m_F = +9/2$  (спин ядра  $I = 4$ ) не может поглотить фотон с правой поляризацией  $\sigma^+$  из закона сохранения момента, в то время как со всех остальных подуровней атомы переходят в возбужденное состояние. Сечение перемешивания подуровней  $P_{1/2}$ -состояния при столкновениях с частицами буферного газа составляет по порядку величины  $10^{-14} \text{ см}^2$  [2], что превышает газокинетическое сечение столкновения. Таким образом, при давлениях буферного газа, оптимальных для эффекта СИД (около 30 Торр [16]), подуровни  $P_{1/2}$  состояния полностью перемешаны, и возбужденное состояние деполяризовано. При спонтанной релаксации подуровни основного состояния заселяются равномерно, в том числе с вероятностью 1/18 заселяется и подуровень с  $m_F = +9/2$ . Сечение же столкновительного перемешивания подуровней  $S_{1/2}$ -состояния при столкновениях с атомами криптона существенно меньше (на уровне  $2,0 \cdot 10^{-21} \text{ см}^2$  [2]). Таким образом, возникающая в многократных процессах возбуждения и спонтанной релаксации неравновесность заселенности подуровней основного состояния накапливается. При этом среди из атомов натрия с максимальной проекцией момента становится полностью прозрачной для циркулярно поляризованного лазерного излучения, настроенного на  $D_1$ -переход.

Степень поляризации ядер  $^{24}\text{Na}$  определялась по анизотропии его  $\gamma$ -излучения после  $\beta$ -распада. Это  $\gamma$ -излучение состояло из двух находящихся в каскаде  $\gamma$ -квантов с энергиями 2,754 и 1,369 МэВ

[15]. Последовательность спинов и четностей ядерных уровней при  $\beta$ - и  $\gamma$ -переходах была:  $4^+ \xrightarrow{\beta} 4^+ \xrightarrow{\gamma} 2^+ \xrightarrow{\gamma} 0^+$ . Угловая диаграмма вылета  $\gamma$ -квантов на ядерных переходах дочернего ядра  $^{24}\text{Mg}$  выражается соотношением [17]):

$$W(\theta) = \sum_{\lambda=0}^{2L} B_\lambda(I_0) U_\lambda A_\lambda(LLI_f I_i) P_\lambda(\cos \theta), \quad (11)$$

где  $\theta$  - угол между направлениями ориентации спина ядра и вылета  $\gamma$ -кванта;  $B_\lambda(I_0)$  - параметры ориентации материнского ядра;  $U_\lambda$  - параметры дезориентации при переходах, предшествующих наблюдаемому;  $A_\lambda(LLI_f I_i)$  - коэффициенты углового распределения;  $P_\lambda(\xi)$  - полиномы Лежандра;  $L$  - порядок мультипольности перехода;  $I_0$  - спин материнского ядра;  $I_{f,i}$  - конечное и исходное значение спина ядра при переходе. Суммирование в (11) производится только по четным  $\lambda$ .

Параметры ориентации задаются соотношением

$$B_\lambda(I_0) = \sqrt{2\lambda + 1} \sqrt{2I_0 + 1} \sum_{m=-I_0}^{+I_0} (-1)^{I_0+m} \begin{pmatrix} I_0 & I_0 & \lambda \\ -m & m & 0 \end{pmatrix} p(m), \quad (12)$$

где в скобках  $3j$ -символы,  $p(m)$  - заселенность подуровня с проекцией  $m$  ядерного спина ( $m$  принимает значения от  $-4$  до  $+4$ ). Основные деполяризующие процессы при оптической накачке – поглощение неполяризованного спонтанного излучения и релаксация на стенах. При первом из них вероятность заселения всех  $m$ -подуровней основного состояния одинакова. Можно предполагать, что при релаксации атомного момента на стенке происходит то же самое. Таким образом, относительно распределения по  $m$ -подуровням основного состояния можно предположить, что заселенность всех  $m_F$ -подуровней, кроме  $m_F = +9/2$ , одинакова, а повышенная заселенность подуровня  $m_F = +9/2$  означает поляризацию атомов. В таком случае заселенность подуровней  $p(m)_{m \neq 4} = p_0$ , а  $p(4) = p_0 + \Delta$  и параметры ориентации:

$$B_2(4) = 1,5954\Delta; \quad B_4(4) = 0,9387\Delta; \quad (13)$$

где  $\Delta$  означает степень поляризации ядер  $^{24}\text{Na}$ . Параметры дезориентации определяются всеми предыдущими переходами:

$$U_\lambda = \begin{cases} U_\lambda(\beta), & 4 \rightarrow 2 \\ U_\lambda(\beta) U_\lambda(42), & 2 \rightarrow 0 \end{cases} \quad (14)$$

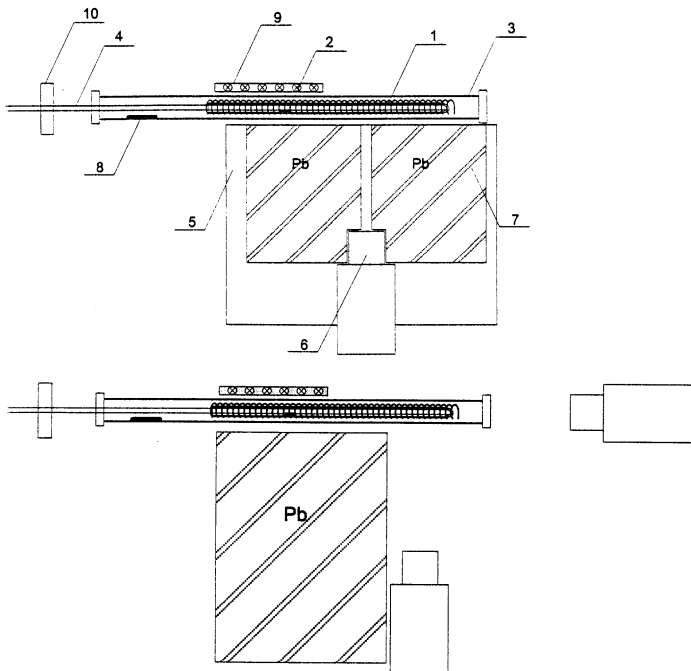
Экспериментальное наблюдение анизотропии  $\gamma$ -излучения естественно проводить в направлениях, где она максимальна, т.е. при значениях угла  $\theta = 0^\circ$  и  $90^\circ$ . Предположим, что  $\beta$ -переход является чистым гамов-теллеровским переходом. Тогда значения коэффициентов формулы (14) следующие [17]:

$$\begin{array}{lll} U_2(\beta) = 0,8500 & A_2(2224) = -0,4477 & P_2(\cos 0) = 1 \\ U_4(\beta) = 0,5000 & A_4(2224) = -0,3044 & P_4(\cos 0) = 1 \\ U_2(42) = 0,7491 & A_2(2202) = -0,5976 & P_2(\cos (\pi/2)) = -1/2 \\ U_4(42) = 0,2847 & A_4(2202) = -1,0690 & P_4(\cos (\pi/2)) = -3/8 \end{array} \quad (15)$$

Подставляя данные параметры в формулу (11), получим для обоих переходов одинаковые выражения:

$$W(0) = 1 - 0,7500\Delta, \quad W(90) = 1 + 0,2500\Delta. \quad (16)$$

Блок-схемы экспериментальной установки представлены на рис.1. Основным элементом ловушки был сапфировый капилляр длиной 20 см и внутренним диаметром 2,5 мм, заваренный с одного конца. Капилляр помещался в tantalовую спираль и затем еще в одну сапфировую трубку большего диаметра. Спираль обеспечивала как высокую температуру нагрева, так и магнитное поле, параллельное направлению распространения лазерного луча. Напряженность магнитного поля спирали в экспериментах составляла  $50 \div 80$  Э. Ячейка наполнялась буферным газом криptonом при давлении 30 Торр. Перед началом эксперимента проводилась калибровка спирали: при различных значениях напряжения на спирали измерялась температура термопарой, размещенной непосредственно в капилляре у закрытого конца при экспериментальном давлении буферного газа. В капилляр на расстоянии 5 см от открытого конца помещалась на tantalовую фольгу проволока из сверхчистого алюминия весом 20 мг, облученная быстрыми нейтронами в ядерном реакторе LVR-15 Института ядерных исследований, Ржеж (у Праги). В результате реакции  $^{27}\text{Al}(n,\alpha)$  был получен  $^{24}\text{Na}$  в количестве  $1,5 \cdot 10^{11}$  атомов, интенсивность его  $\gamma$ -излучения составляла  $5,5 \cdot 10^6$  Бк. Поскольку



**Рис.1.** Схемы экспериментальных установок: вверху – для измерения пространственного распределения  $^{24}\text{Na}$  в ячейке; внизу – для измерения анизотропии  $\gamma$ -излучения захваченных атомов  $^{24}\text{Na}$ .  
 1 – заваренный с одного конца сапфировый капилляр; 2 – алюминий, содержащий атомы  $^{24}\text{Na}$ ; 3 – сапфировая трубка; 4 – пучок лазера на красителе; 5 – передвижная платформа; 6 -  $\gamma$ -детектор; 7 – свинцовая защита со щелью; 8 – ампула с металлическим калием; 9 – постоянный магнит, обеспечивающий поперечное магнитное поле, достаточное для разрушения оптической поляризации в половине ловушки; 10 – поляризационная пластинка  $\lambda/4$

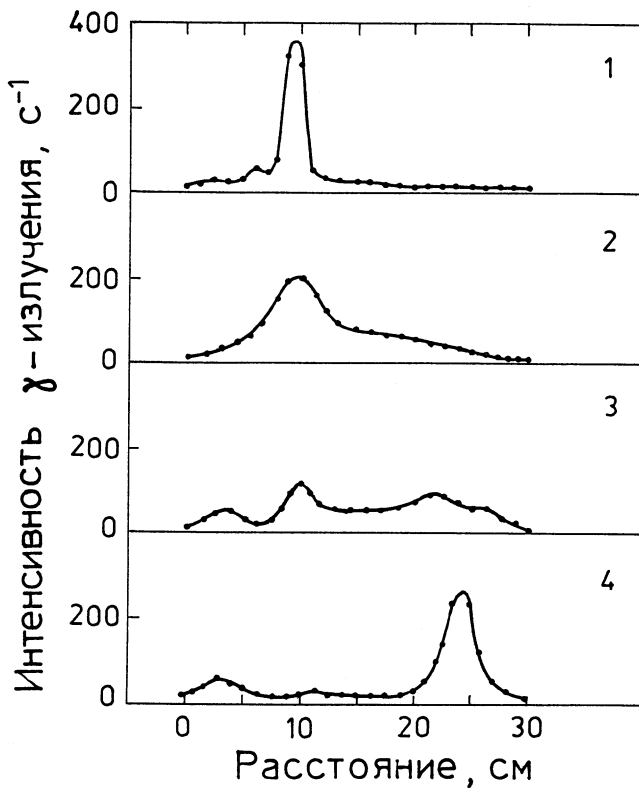
тантал смачивается расплавленным алюминием, танталовая фольга препятствовала образованию капли жидкого алюминия в сапфировом капилляре, которая бы могла перекрыть лазерный луч. Около ячейки со стороны открытого конца размещались постоянные магниты, обеспечивающие перпендикулярное магнитное поле напряженностью около 100 Э, что было достаточно для разрушения спиновой ориентации атомов в этой половине ловушки. В другой половине ловушки, близкой к закрытому концу, напряженность поля постоянных магнитов быстро падала и на расстоянии 3 см от магнитов была ниже 10 Э, что не оказывало влияния на ориентацию атомов. Пучок лазера на красителе (совместное производство АО «Инверсия» и АО «Техноскан», Новосибирск) проходил через капилляр от открытого конца к закрытому. Его мощность была около 100 мВт, частота излучения была настроена на центр D<sub>1</sub>-линии стабильного натрия, что соответствует отстройке около 700 МГц в «красную» сторону от центра линии <sup>24</sup>Na (изотопический сдвиг), и это обеспечивало близкую к максимальной скорость СИД по направлению распространения света. Профиль пучка был гауссов, его диаметр составлял 0,5 мм, поляризация излучения была линейной. В трубке большего диаметра на расстоянии 8 см от входа в ловушку помещалась ампула с металлическим калием. В процессе эксперимента она была постоянно нагрета так, чтобы был слегка виден свет резонансной флуоресценции натрия, содержащегося в калии как малая примесь. Пары калия очищали буферный газ и, постепенно насыщая поверхность сапфира, снижали адсорбцию натрия на ней.

Капилляр постепенно нагревался, и атомы натрия начинали покидать нагретый, а затем расплавленный алюминий. Пространственное распределение радиоактивного натрия во время нагревания определялось сцинтиляционным детектором, помещенным за передвижной свинцовой щелью (рис.1). Алюминий и танталовая фольга содержали в качестве примесей большое количество стабильного натрия, поэтому при слишком высоких температурах среда становилась оптически непрозрачной, что мешало проведению эксперимента. Поэтому было необходимо сначала устранить стабильный натрий из ловушки, т.е. реализовать разделение изотопов <sup>23</sup>Na и <sup>24</sup>Na в ловушке. В этой фазе эксперимента подбиралась такая температура, чтобы концентрация испаряемого натрия была не слишком велика и лазерное излучение проникало бы к закрытому концу ячейки. Со временем стабильный натрий диффузионно покидал капилляр, в то время как <sup>24</sup>Na благодаря

эффекту СИД концентрировался у закрытого конца капилляра. Эволюция пространственного распределения  $^{24}\text{Na}$  при постепенном повышении температуры приведена на рис.2. Через 5,5 часов стабильный натрий полностью покидал капилляр, и процесс разделения изотопов  $^{23}\text{Na}$  и  $^{24}\text{Na}$  завершался. При этом в трубке исчезало свечение стабильного натрия, а наблюдалась только люминесценция  $^{24}\text{Na}$  около закрытого конца ловушки. Измерения интенсивности  $\gamma$ -излучения показали, что в этом месте оказывалось около  $10^{11}$  атомов  $^{24}\text{Na}$ . Отметим, что эта величина не является предельной емкостью ловушки, т.к. она определяется ее объемом, который можно сделать достаточно большим.

Для вычисления степени обогащения (изменения изотопного соотношения), достигнутой в эксперименте, необходимо оценить количество стабильного натрия, которое было устраниено из ловушки. Оценку можно провести по формуле (2), подставляя экспериментальные значения входящих в нее параметров: время разделения – 5,5 часов, градиент плотности паров натрия –  $10^{12}\text{ см}^{-3}$ ; коэффициент диффузии натрия при давлении криптона 30 Торр с учетом адсорбции на стенках при температуре около 1000 К составляет по порядку величины  $0,1\text{ см}^2/\text{с}$  [18,19]. Из этой оценки следует, что стабильного натрия было  $2 \cdot 10^{14}$  атомов, т.е. на три порядка больше, чем радиоактивного. Отсутствие свечения от стабильного натрия позволяет предположить, что после разделения в ловушке осталось его меньше, чем одна десятая от количества  $^{24}\text{Na}$ , т.е.  $< 10^{10}$  атомов. Это означает, что достигнутая степень обогащения была больше, чем  $10^4$ . В процессе изотопического разделения было потеряно всего около 20%  $^{24}\text{Na}$ , который покинул ловушку и адсорбировался у ее открытого конца. Это определяет эффективность захвата  $^{24}\text{Na}$ , достигнутую в эксперименте, – 80%.

После того как пространственное распределение  $^{24}\text{Na}$  перестало меняться, были выполнены эксперименты по оптической поляризации  $^{24}\text{Na}$  в ловушке. Для этого измерялась анизотропия  $\gamma$ -излучения, испускаемого при распаде  $^{24}\text{Na}$ . Эти измерения проводились с помощью двух сцинтилляционных детекторов с рабочим объемом 80 и  $57\text{ см}^3$ , размещенных под углами  $0^\circ$  и  $90^\circ$  к волновому вектору лазерного излучения на расстоянии 30 см от закрытого конца ловушки. Поляризация света изменялась с линейной на круговую и обратно с помощью фазовой пластинки  $\lambda/4$ ,  $\gamma$ -излучение регистрировалось на линиях 2,754 и 1,369 МэВ. Измерялась интенсивность этого  $\gamma$ -излучения каждым детектором попеременно при линейной и круговой поляризации лазерного



**Рис.2.** Эволюция пространственного распределения  $^{24}\text{Na}$  в ячейки в процессе подготовки ее к работе. 1 – начало нагрева; 2 – через 2,5 часа; 3 – через 4,5 часа; 4 – через 5,5 часов. На шкале расстояний 0 и 30 см соответствуют открытому и запаянному концам трубки

излучения. Каждое измерение продолжалось 10 минут, в течение которых детекторы регистрировали не менее 40 тысяч  $\gamma$ -квантов в выбранном участке спектра. Результатом измерений были отношения  $K_0 = \left( \frac{K_{0,c} - f_1}{K_{0,l} - f_1} \right)$ ,  $K_{90} = \left( \frac{K_{90,c}}{K_{90,l}} \right)$ , где  $K_{0,c}$  и  $K_{0,l}$  – количества  $\gamma$ -квантов, зарегистрированных данным детектором при циркулярной и линейной поляризации лазерного излучения соответственно;  $f_1$  – фон в детекторе под углом  $0^\circ$  от  $^{24}\text{Na}$ , покинувшего ловушку. На рис.3 представлены зависимости этих отношений от температуры ячейки. Статистические ошибки измерений приведены с 90% доверительным интервалом вероятности. Отметим, что при температурах ниже 1230 К величины  $K_0$  не зависят от температуры и их средние значения составляют  $K_0 = 0,89 \pm 0,02$  и  $K_{90} = 1,01 \pm 0,02$ . Постоянные величины  $K_0$  при температурах ниже 1230 К можно объяснить тем, что при низких температурах количество  $^{24}\text{Na}$ , адсорбированного на стенке ловушки, гораздо больше, чем  $^{24}\text{Na}$  в газовой фазе. Поэтому анизотропия  $\gamma$ -излучения поляризованного  $^{24}\text{Na}$  в газовой фазе не превышает статистическую ошибку изотропного излучения неполяризованного  $^{24}\text{Na}$ , адсорбированного на стенах. Как уже отмечалось, при изменении поляризации света из линейной на круговую вероятность поглощения света снижается из-за оптической накачки, поэтому падает соответственно и скорость СИД атомов  $^{24}\text{Na}$ , из-за чего распределение атомов расплывается. В результате этого центр тяжести распределения отдаляется от детектора под углом  $0^\circ$ , и этот детектор регистрирует меньше  $\gamma$ -квантов. Вышеуказанное значение величины  $K_0 = f_2 = 0,89 \pm 0,02$  соответствует сдвигу центра тяжести распределения захваченных атомов на  $(1,8 \pm 0,4)$  см. При вычислении анизотропии  $W(0)$  эту систематическую ошибку можно учесть и  $W(0) = K_0/f_2$ . Величина анизотропии  $W(90)$  соответствует непосредственно отношению  $K_{90}$ , таким образом,  $W(90) = K_{90}$ .

При дальнейшем повышении температуры ячейки анизотропия  $\gamma$ -излучения становилась больше статистической ошибки измерений. Отношение  $K_0$  начинало падать, а отношение  $K_{90}$  – возрастать, и при температуре выше 1350 К обе величины выходили на насыщение. Значения степени поляризации ядер  $\Delta$ , вычисленные по данным рис.3 в соответствии с формулой (16) и зависимости их от температуры, приведены на рис.4.

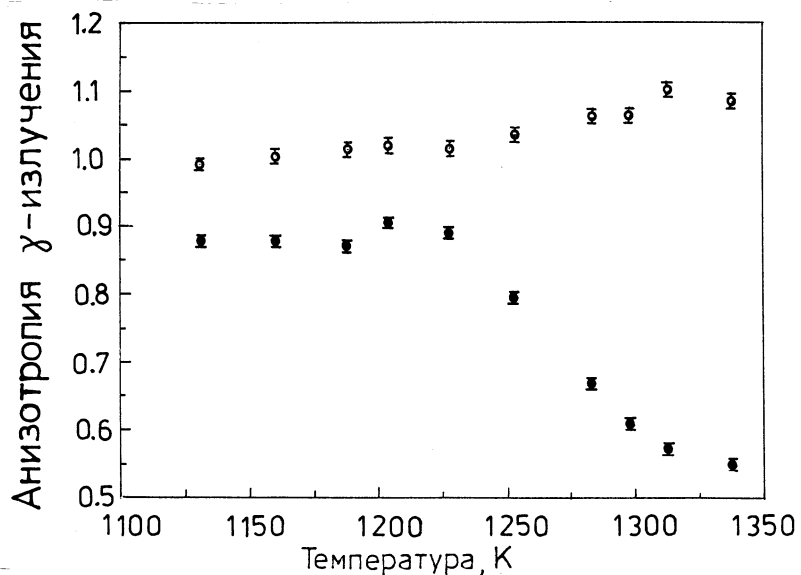


Рис.3. Анизотропия  $\gamma$ -излучения при различных температурах ячейки: ● – показания детектора под углом  $0^\circ$ ; ○ – показания детектора под углом  $90^\circ$

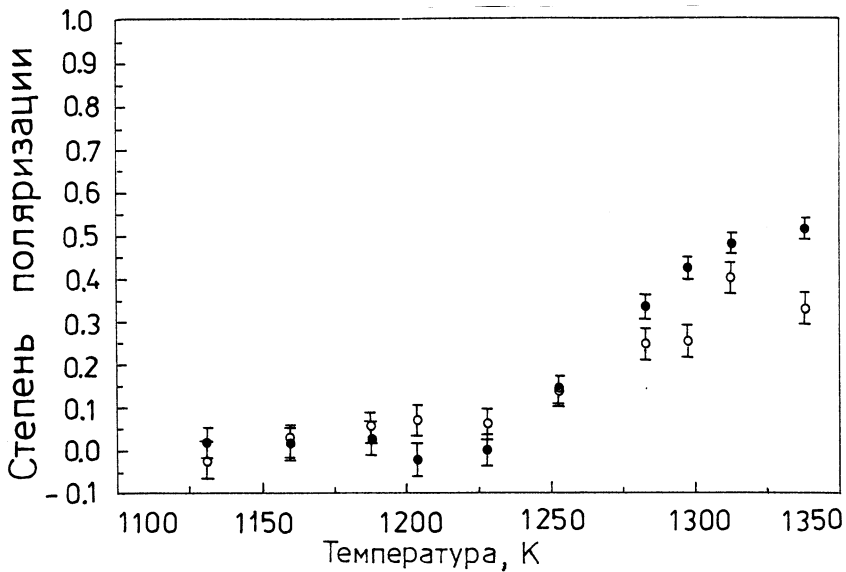


Рис.4. Степень поляризации ядер  $^{24}\text{Na}$  в ловушке, полученная из показаний детекторов под углом  $0^\circ$  – ● и под углом  $90^\circ$  – ○

Степень поляризации атомов в ловушке является результатом динамического равновесия процессов поляризации атомов в объеме и деполяризации на стенке. С этой точки зрения представляло интерес провести измерения анизотропии при различных диаметрах лазерного луча , поскольку при увеличении его диаметра повышается и эффективный объем, где происходила оптическая накачка и действовал эффект СИД. В приведенной таблице собраны результаты всех измерений степени поляризации по показаниям обоих детекторов при различных диаметрах лазерного луча  $d$  и температуры образца  $T$ . Как видно из таблицы , при увеличении диаметра луча возрастала анизотропия  $\gamma$ -излучения, как в параллельном, так и перпендикулярном направлениях. Кроме того, при этом уменьшалось различие показаний анизотропии обоих детекторов. Это объясняется тем, что максимальная средняя по сечению капилляра скорость СИД достигается при максимальном заполнении капилляра излучением. Как результат, при этом распределение захваченных атомов становилось более компактным и в абсолютной мере меньше расплывалось при переходе от линейной поляризации к циркулярной. Соответственно этому, влияние случайных изменений геометрического фактора на интенсивность счета детекторов снижалось. Максимальная степень поляризации ядер  $^{24}\text{Na}$ , достигнутая в эксперименте, составляла  $(60 \pm 4)\%$ . Одним из возможных путей увеличения степени поляризации является добавка в буферный газ инертного молекулярного газа, например, азота, как тушителя деполяризующей люминесценции.

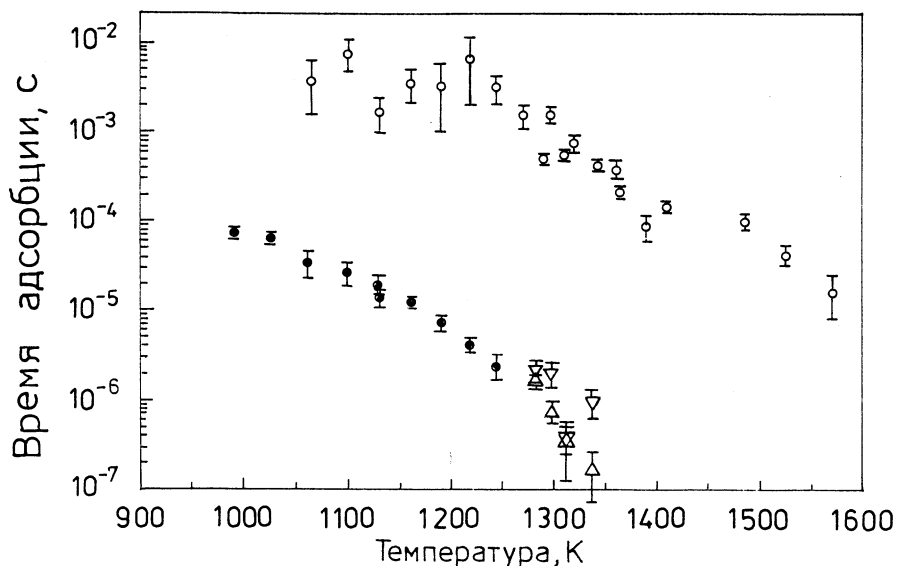
Эксперимент по оптической поляризации  $^{24}\text{Na}$  и по измерению ее степени продолжался около 6 часов. В течение этого времени потери захваченных атомов  $^{24}\text{Na}$  в пределах точности измерений соответствовали только его радиоактивному распаду, т.е. потери за счет химического связывания были меньше 2%. Это означает, что если в ловушке возникали молекулы, то при данных экспериментальных температурах  $1100 \div 1400$  К они быстро разлагались на атомы, не успевая диффузионно покинуть ловушку. Столь низкие потери соответствуют очень большому формальному времени удержания атомов  $^{24}\text{Na}$  в ловушке за счет эффекта СИД – более 300 часов.

Отметим, что температурная зависимость на рис.4 хорошо соответствует описанному в [20] поведению адсорбции натрия на сапфировой поверхности, насыщенной атомами калия. Проведенные измерения могут считаться еще одним независимым методом

ТАБЛИЦА

**СТЕПЕНЬ ПОЛЯРИЗАЦИИ ЯДЕР  $^{24}\text{Na}$   
ПРИ РАЗЛИЧНЫХ ТЕМПЕРАТУРАХ И ДИАМЕТРАХ  
КАПИЛЛЯРА**

T, K	$d = 0,5 \text{ мм}$		$d = 0,8 \text{ мм}$		$d = 1,4 \text{ мм}$	
	$\Delta_{90}, \%$	$\Delta_0, \%$	$\Delta_{90}, \%$	$\Delta_0, \%$	$\Delta_{90}, \%$	$\Delta_0, \%$
1255	$14 \pm 4$	$14 \pm 3$				
1285	$24 \pm 4$	$33 \pm 3$				
1300	$25 \pm 4$	$42 \pm 3$				
1315	$40 \pm 4$	$48 \pm 2$	$49 \pm 4$	$56 \pm 2$	$47 \pm 4$	$58 \pm 2$
1340	$33 \pm 4$	$51 \pm 2$	$51 \pm 4$	$56 \pm 2$	$60 \pm 4$	$61 \pm 2$
1363					$60 \pm 4$	$63 \pm 2$
1378					$55 \pm 4$	$55 \pm 2$



**Рис.5.** Зависимость времени адсорбции атомов натрия на поверхности сапфира от температуры. Время адсорбции, измеренное в данной работе:  $\Delta$  - по показаниям детектора под углом  $0^\circ$ ;  $\nabla$  - по показаниям детектора под углом  $90^\circ$ . То же измеренное в [20]: о - чистая поверхность сапфира, • - поверхность сапфира насыщена атомами калия

исследования адсорбции. Из данных рис.4 можно вычислить соотношение между количеством адсорбированных и свободных атомов. Отношение их позволяет вычислить время адсорбции, используя выражение

$$\frac{n_a}{n_f} = \frac{\tau_a(v)}{2R}, \quad (17)$$

$$(v) \equiv \sqrt{\frac{8kT}{\pi m}}. \quad (18)$$

где  $n_{af}$  – плотность адсорбированных и свободных атомов соответственно,  $\tau_a$  – время адсорбции,  $(v)$  – средняя тепловая скорость атомов,  $R$  – радиус трубы. На рис.5 приведены данные о времени адсорбции атомов натрия на поверхности, полученные в данной работе, а также измеренные в [20]. С учетом того, что температурная шкала в [20] устанавливалась с точностью  $\pm 50$  К, результаты обоих измерений хорошо согласуются.

В заключение перечислим основные результаты представленной работы. Продемонстрировано, что ловушка на базе СИД может работать как изотопический сепаратор с низкими потерями и с высокой степенью обогащения. В процессе разделения было достигнуто изменение отношения изотопов  $^{23}\text{Na}$  и  $^{24}\text{Na}$  больше, чем в  $10^4$  раз при потерях 20%. В ловушку было захвачено  $10^{11}$  атомов  $^{24}\text{Na}$ , которые удерживались в виде пара в течение 6 часов практически без утечки (потери меньше 2%). Соответствующее время удержания атомов  $^{24}\text{Na}$  в ловушке  $> 300$  часов (без учета радиоактивного распада). Захваченные атомы  $^{24}\text{Na}$  были поляризованы циркулярно поляризованным лазерным излучением. Максимальная достигнутая степень поляризации была 60%. Эти параметры лучше, чем получаемые в магнитооптических ловушках. Достигнутые результаты позволяют надеяться, что представленная методика найдет применение как при разделении изотопов, так и в экспериментах с использованием поляризованных атомов и ядер.

Авторы выражают глубокую благодарность А.М.Шалагину, Е.В.Подивилову, Д.Веносу и Е Шимечковой за плодотворные дискуссии, Р.Маху и М.Г.Иткису за поддержку работы, а также Я.Фране за измерительную технику, любезно предоставленную на время экспериментов. Работа была проведена при поддержке грантами № 202/97/0369 и № 202/97/0445 Грантового агентства Чешской Республики.

## ЛИТЕРАТУРА.

1. A.Kastler, J. Phys. Radium **11**, 225 (1950).
2. W.Happer, Rev. Mod. Phys. **44**, 170 (1972).
3. G.Huber, J.Bonn, H.-J.Kluge, E.W.Otten, Z. Physik, **A276**, 203 (1976).
4. A.L.Hallin, F.P.Calaprice, D.W.MacArthur, Z. Physik **A276**, 187 (1976).
5. M.Stephens and C.Wieman, Phys. Rev. Lett. **72**, 3787 (1994).
6. G.Shimkaveg, W.W.Quivers, R.R.Dasari et. al., Phys. Rev. Lett. **53**, 2230 (1984).
7. E.L.Raab, M.Prentiss, A.Cable, et al., Phys. Rev. Lett. **59**, 2631 (1987).
8. K.Gibble, S.Kasapi, S.Chu, Opt. Lett. **17**, 526 (1992).
9. W.Ketterle, K.B.Davis, M.A.Joffe et. al., Phys. Rev. Lett. **70**, 2253 (1993).
- 10.F.Buric, C.Hradecný, J Slovák et.al., Phys. Rev. **A54**, 3250 (1996).
- 11.Ф.Х.Гельмуханов, А.М.Шалагин, Письма в ЖЭТФ, **29**, 773 (1979).
- 12.Ю.П.Гангрский, Ч.Градечны, С.Г.Земляной и др., ЖЭТФ, **106**, 725 (1994).
- 13.С.Т.Атутов, И.М.Ермолаев, А.М.Шалагин, ЖЭТФ, **92**, 1215 (1987).
- 14.Термодинамические свойства индивидуальных веществ, Справочное издание под ред. В.П.Глушко, Наука, Москва, 1982.
- 15.E.Brown, R.B.Firestone, Table of Radioactive Isotopes, John Wiley and Sons, N.Y., 1986.
- 16.H.G.C.Werij and J.P.Woerdman, Phys. Report **169**, 145 (1988).
- 17.N.J.Stone and H.Postma, Low-Temparature Nuclear Orientation, North-Holland Physics Publishing, 1986.
- 18.C.Hradecný, J Slovák, T Téthal et. al., Appl. Radiat. Isot **43**, 1259 (1992).
- 19.C.Hradecný, J Slovák, T Téthal et. al., Appl. Radiat. Isot **45**, 257 (1994).
- 20.C.Hradecný, A.M.Shalagin, T Téhal, I.M Yermolaev, J. Phys. A, to be published.

Рукопись поступила в издательский отдел

3 марта 2000 года.

Гангрский Ю.П. и др.

P13-2000-37

Оптическая ориентация ядер  $^{24}\text{Na}$

в ловушке на основе светоиндуцированного дрейфа

Представлены результаты экспериментов по поляризации ядер радиоактивного изотопа  $^{24}\text{Na}$  в газовой ловушке. Действие ловушки основано на эффекте светоиндуцированного дрейфа атомов, вызываемого лазерным излучением. При облучении паров Na циркулярно поляризованным лазерным излучением достигнута степень поляризации  $(60 \pm 4)\%$ , измеренная по анизотропии  $\gamma$ -излучения  $^{24}\text{Na}$ . Из смеси со стабильным изотопом  $^{24}\text{Na}$  захвачено в ловушку 80% атомов  $^{24}\text{Na}$  при его обогащении в  $10^4$  раз. Потери из ловушки за время эксперимента (6 ч) были менее 2%, что соответствует времени задержания более 300 ч.

Работа выполнена в Лаборатории ядерных реакций им. Г.Н.Флерова ОИЯИ и в Институте ядерной физики, Ржеж, Чехия.

Препринт Объединенного института ядерных исследований. Дубна, 2000

Gangrsky Yu.P. et al.

P13-2000-37

Optical Polarization of the Radioactive Nuclei  $^{24}\text{Na}$   
in the Trap on the Base of Light Induced Drift

The results of the experiments about the polarization of the radioactive nuclei  $^{24}\text{Na}$  in the gaseous trap are presented. The action of the trap was based on the effect of the light induced drift under the laser radiation. The polarization degree  $(60 \pm 4)\%$  was arrived at the irradiation of Na vapor by circularly polarized laser light. It was obtained at the measurement of  $^{24}\text{Na}$   $\gamma$ -ray anisotropy. From the mixture of sodium isotopes 80% nuclei of  $^{24}\text{Na}$  was extracted at its enrichment  $10^4$ . The losses from the trap were less than 2% in the time of the experiment (6 hours). It corresponds to the trapping time more than 300 hours.

The investigation has been performed at the Flerov Laboratory of Nuclear Reactions, JINR and at the Institute of Nuclear Physics, Rez, Czech Republik.

Preprint of the Joint Institute for Nuclear Research. Dubna, 2000

Редактор М.И.Зарубина. Макет Н.А.Киселевой

Подписано в печать 13.04.2000

Формат 60 × 90/16. Офсетная печать. Уч.-изд. листов 1,41

Тираж 315. Заказ 51977. Цена 1 р. 70 к.

Издательский отдел Объединенного института ядерных исследований  
Дубна Московской области